

# ПИКОСЕКУНДНЫЕ «РАЗГОРАНИЕ» И РЕЛАКСАЦИЯ ИНТЕНСИВНОГО СТИМУЛИРОВАННОГО ИЗЛУЧЕНИЯ GaAs

**Н. Н. Агеева, И. Л. Броневой\*, Д. Н. Забегаев, А. Н. Кривоносов**

Институт радиотехники и электроники им. В. А. Котельникова Российской академии наук  
125009, Москва, Россия

Поступила в редакцию 24 сентября 2012 г.

В подтверждение представления, созданного ранее на основании косвенных признаков, обнаружено, что в GaAs возникало стимулированное излучение, а его интенсивность возрастало с пикосекундной задержкой относительно фронта мощной пикосекундной оптической накачки, создававшей плотную электронно-дырочную плазму. При спаде накачки интенсивность излучения релаксирует с характерным временем порядка 10 пс. Получены зависимости времени задержки, времени релаксации, длительности пикосекундного импульса излучения от энергии его фотона. Оценки, основанные на том, что релаксация излучения определяется остыанием электронно-дырочной плазмы, соответствуют измеренному времени релаксации.

DOI: 10.7868/S0044451013040034

## 1. ВВЕДЕНИЕ

В работах [1, 2] при исследовании спектров просветления (возрастания прозрачности) полупроводника GaAs при его пикосекундной оптической накачке было обнаружено, что плотность  $n = p \geq 1.7 \cdot 10^{18} \text{ см}^{-3}$  и температура  $T_c \geq 25 \text{ мэВ}$  электронно-дырочной плазмы (ЭДП) приблизительно обратимо (с инерционностью менее 10 пс) изменяются по отношению к накачке. Как одно из допустимых объяснений такого изменения плотности ЭДП было выдвинуто предположение о возникновении стимулированного (усиленного спонтанного) излучения пикосекундной длительности в GaAs во время накачки [2]. Справедливость этого предположения подтвердилась косвенными методами в экспериментах [3–5]. Косвенно подтверждало его и возникновение стимулированного излучения не позднее 12 пс после накачки фемтосекундным импульсом структуры GaAs/AlGaAs MQWS [6]. В работах [3, 5, 7–12] были экспериментально исследованы интегральные по времени характеристики пикосекундного излучения GaAs. В работе [7] было обнаружено, что релаксация просветления GaAs, отображавшая преимущественно релаксацию плотности ЭДП, происходила

экспоненциально. Из этого следовало, что и рекомбинационное излучение (интегральное по спектру) должно релаксировать экспоненциально с характерным временем  $\tau_\Sigma$ , равным характерному времени релаксации плотности ЭДП  $\tau_r \sim 10 \text{ пс}$ . После завершения пикосекундного излучения устанавливается, как было экспериментально показано в работе [4], универсальное пороговое состояние ЭДП, при котором температура  $T_c$  становится комнатной, а расстояние между квазиуровнями Ферми электронов ( $\mu_e$ ) и дырок ( $\mu_h$ ) равняется ширине запрещенной зоны  $E_g$ .

В работах авторов, опубликованных в период 1985–2012 гг. (часть в соавторстве с В. И. Перелем и С. Е. Кумековым), был обнаружен ряд нелинейных оптоэлектронных процессов, возникающих в GaAs под влиянием собственного пикосекундного излучения и, в свою очередь, влияющих на это излучение. Однако провести прямые измерения изменения интенсивности излучения со временем удалось только в настоящей работе. Полученная информация о разгорании, длительности и релаксации различных спектральных компонент излучения, возникающего при накачке GaAs пикосекундными импульсами, имеет не только чисто научный интерес. Она может быть полезна при создании мощных полупроводниковых лазеров и суперлюминесцентных диодов, предназначенных для генерации сверхкоротких импульсов.

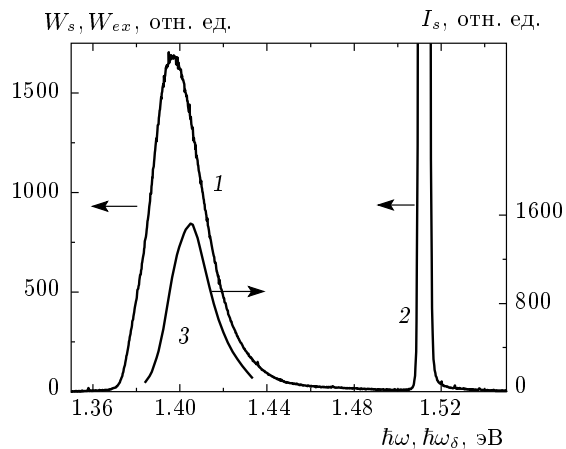
\*E-mail: bil@cplire.ru

## 2. ЭКСПЕРИМЕНТ

Опыты проводились при комнатной температуре на спектрофотохронометрическом пикосекундном лазерном комплексе с автоматизированной системой сбора и обработки измеряемых величин. Комплекс состоит из задающего YAG-лазера PL PDP1-300 с диодной накачкой (компания «СинхроTex», Россия); системы усилителей лазерного импульса, накачиваемых источниками 703TC-020-380-25-SCM-100-20 (ООО «ОптоСистемы», Россия); удвоителей частоты светового импульса (кристаллов KDP); двух параметрических генераторов света на  $\text{LiNbO}_3$  с температурной перестройкой длины волны — первый для генерации накачивающего, второй (в данной работе не использовался) — зондирующего или других импульсов длительностью (FWHM) около 10 пс с линейной поляризацией света [13]; спектрофотохронометрической системы. Наиболее важными компонентами последней являлись двойной спектрограф SpectraPro-2500i, используемый как для спектральных измерений, так и (в режиме вычитания дисперсии) в качестве полосового фильтра длин волн, не искажающего длительность излучения; пикосекундная электронно-оптическая камера (ЭОК) PS-1/S1, разработанная и изготовленная в ИОФ им. А. М. Прохорова РАН; CCD-камеры PIXIS и CoolSNAP:HQ2 для регистрации соответственно спектра излучения и изменения со временем интенсивности спектральной компоненты излучения, пропущенной спектрографом.

Накачке подвергалась изготовленная молекулярно-лучевой эпитаксией гетероструктура  $\text{Al}_{0.22}\text{Ga}_{0.78}\text{As}-\text{GaAs}-\text{Al}_{0.4}\text{Ga}_{0.6}\text{As}$  с толщинами слоев соответственно 1.3–1.5–1.2 мкм, с площадью поверхности  $8 \times 8 \text{ mm}^2$ , освобожденная в середине на площади  $4 \times 4 \text{ mm}^2$  от подложки. Длительность (FWHM) и энергия фотона импульса накачки составляли соответственно  $t_p = 11.3$  пс и  $\hbar\omega_{ex} = 1.512$  эВ. Диаметр луча накачки (FWHM) равнялся  $D \approx 0.5$  мм. Угол между лучом накачки и нормалью к эпитаксиальным слоям гетероструктуры составлял  $10^\circ$ . На поверхности гетероструктуры, за исключением торцевых, было нанесено антиотражающее покрытие, чтобы избежать интерференционных эффектов для накачки и для излучения, не сильно отклоняющееся от нормали к плоскости эпитаксиальных слоев. Для накачки и излучения слои  $\text{Al}_x\text{Ga}_{1-x}\text{As}$  были прозрачны.

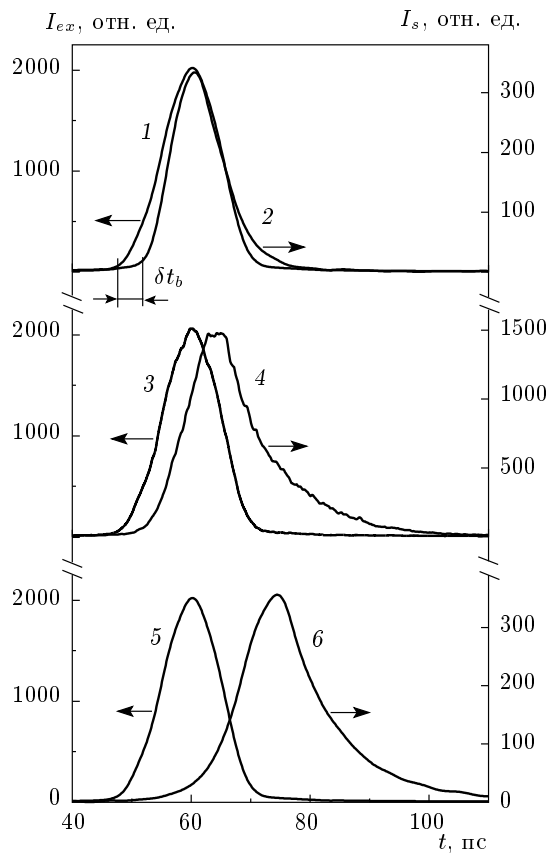
Вследствие интенсивной накачки в GaAs возникали инверсия населенностей носителей и стимулированное излучение, усиливавшееся преимуществен-



**Рис. 1.** Экспериментальные интегральные по времени спектр стимулированного излучения из GaAs  $W_s$  (1) и основание спектра света накачки  $W_{ex}$  (2) в зависимости от  $\hbar\omega$ , а также спектр излучения  $I_s$  (3) через 17 пс после начала накачки в зависимости от  $\hbar\omega_\delta$  (воссоздан по хронограммам излучения с разными  $\hbar\omega_\delta$ )

но вдоль эпитаксиального слоя. Из-за несовершенства волноводных качеств гетероструктуры часть излучения выходила через ее поверхность. Доля излучения, распространявшаяся внутри телесного угла  $\Omega \approx 9 \cdot 10^{-4}$  ср с осью, ортогональной поверхности гетероструктуры, направлялась в двойной спектрограф. Чтобы ослабить долю рассеянного в образце света накачки, попадающую в спектрограф, перед его входной щелью был установлен анализатор (призма Глана), настроенный на пропускание излучения с поляризацией, ортогональной поляризации накачки. Интегральные по времени спектр стимулированного излучения и спектр рассеянного образом света накачки, попавшего внутрь угла  $\Omega$ , регистрировались CCD-камерой PIXIS (рис. 1).

При измерении огибающей импульса двойной спектрограф был настроен, как указывалось выше, в режим вычитания дисперсии. Промежуточную щель между первой и второй ступенями спектрографа раскрывали так, чтобы она пропускала излучение спектральной ширины  $\delta\hbar\omega = 7.6$  мэВ. В результате через выходную щель спектрографа выходила только требуемая для измерения спектральная компонента излучения той же длительности, которая была у нее при входе в спектрограф. Эта компонента излучения направлялась в ЭОК, где зависимость интенсивности излучения от времени преобразовывалась в пространственную зависимость интенсивности. Последняя зависимость, далее называемая

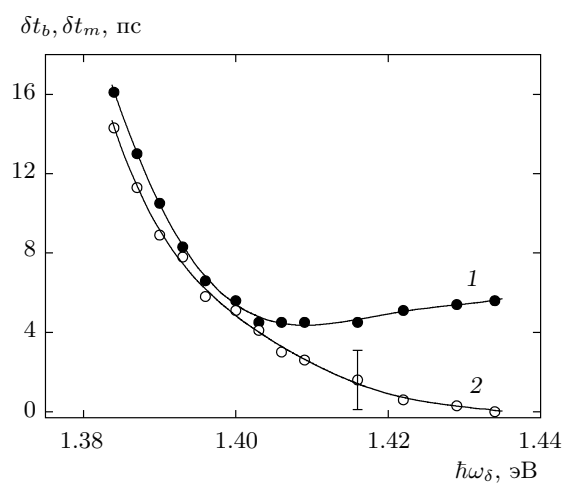


**Рис. 2.** Хронограммы импульса накачки  $I_{ex}$  (1, 3, 5) и спектральных компонент стимулированного излучения  $I_s$  при  $\hbar\omega_\delta = 1.429$  эВ (2), 1.403 эВ (4), 1.384 эВ (6). Хронограммы 3, 4 — экспериментальные, остальные — экспериментальные, подвергнутые сглаживанию (подробнее см. в конце разд. 2)

мая хронограммой, регистрировалась CCD-камерой CoolSNAP:HQ2. Приводимые в статье хронограммы были измерены в начальной части динамического диапазона хронометрической системы.

Представление о погрешностях измерений ЭОК PS-1/S1 дано в работе [14]. В настоящей работе в расчет принимались только те акты накачки, для которых отклонение энергии импульса накачки от заданного значения не превышало  $\pm 5\%$ . Накопление данных продолжалось до тех пор, пока усредненный спектр (или хронограмма) не переставал с точностью  $3\%$  зависеть от числа импульсов накачки. При накоплении хронограмм осуществлялась автоматическая компенсация джиттера (нестабильности запуска линейной развертки) ЭОК PS-1/S1. Сам же джиттер не превышал  $\pm 4.5$  пс.

На рис. 2 представлены хронограммы излучения при различных значениях  $\hbar\omega_\delta$  вместе с хронограммами

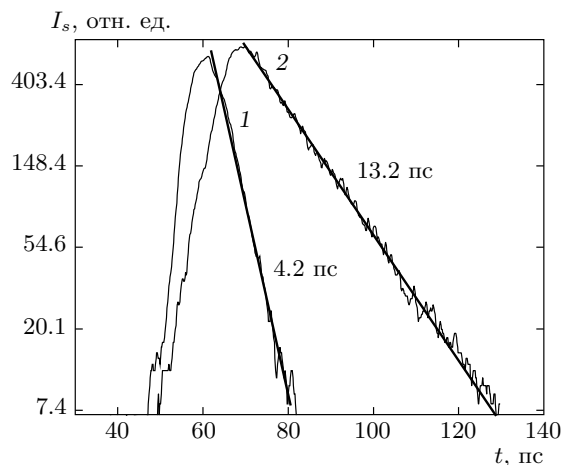


**Рис. 3.** Задержки  $\delta t_b$  (1) и  $\delta t_m$  (2) в зависимости от  $\hbar\omega_\delta$ . Здесь и ниже на рис. 5, 6 линии проведены через экспериментальные точки для наглядности

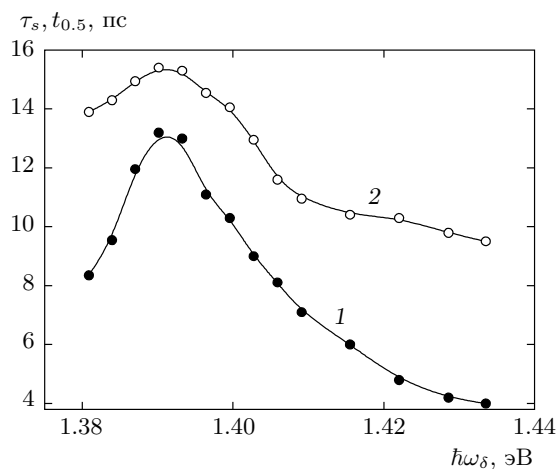
импульса накачки ( $\hbar\omega_\delta$  — энергия фотона в середине интервала  $\delta\hbar\omega$ ). Видно, что излучение «разгорается» и его интенсивность  $I_s$  растет с пикосекундной задержкой относительно фронта импульса накачки. Определялись две задержки. Во-первых,  $\delta t_b$  — задержка «разгорания» излучения; моментом разгорания излучения (началом накачки) мы условно считали тот, на который приходилась максимальная положительная кривизна на фронте излучения (накачки). Это проиллюстрировано на рис. 2. Во-вторых,  $\delta t_m$  — интервал между моментами времени, на которые приходятся соответственно максимум интенсивности импульса накачки и максимум интенсивности излучения. Задержки  $\delta t_b$ ,  $\delta t_m$  в зависимости от  $\hbar\omega_\delta$ , как и погрешность в определении  $\delta t_m$  (для  $\delta t_b$  она заметно меньше), представлены на рис. 3. Заметим, что измерения проводились при тех значениях  $\hbar\omega_\delta$ , для которых отношение сигнал/шум позволяло получать достоверную информацию.

Релаксация излучения, как и предполагалось, оказалась экспоненциальной с характерным временем  $\tau_\Sigma = 12$  пс. Обнаружилось, что характерное время релаксации  $\tau_s$  для различных спектральных компонент излучения неодинаково (рис. 4). Время  $\tau_s$  и длительность (FWHM)  $t_{0.5}$  импульса отдельной спектральной компоненты излучения являлись немонотонными функциями  $\hbar\omega_\delta$  (рис. 5).

Для определения времен  $\delta t_b$ ,  $\delta t_m$ ,  $\tau_s$ ,  $\tau_\Sigma$ ,  $t_{0.5}$  использовались усредненные хронограммы, подвергнутые сглаживанию. Это делалось, чтобы избежать влияния остатков шумов на усредненных хронограммах. Сглаживание проводилось по алгоритму бы-



**Рис. 4.** Экспериментальные хронограммы спектральных компонент стимулированного излучения при  $\hbar\omega_\delta = 1.429$  эВ (1), 1.390 эВ (2). К спадам хронограмм проведены касательные линии, справа от которых указаны соответствующие им значения  $\tau_s$



**Рис. 5.** Зависимости от  $\hbar\omega_\delta$  характерного времени релаксации  $\tau_s$  (1) и длительности импульса (FWHM)  $t_{0.5}$  (2) спектральной компоненты стимулированного излучения

строго преобразования Фурье с отсечением высокочастотных колебаний (FFT-фильтр). Для получения верного представления о результате сглаживания хронограммы накачки и излучения, относящегося к разным участкам спектра, хронограммы 3, 4 на рис. 2 и хронограммы 1, 2 на рис. 4 приведены без сглаживания, а хронограммы 1, 2, 5, 6 на рис. 2 — после сглаживания.

### 3. ОБСУЖДЕНИЕ РЕЗУЛЬТАТОВ

Согласно работе [12], при фиксированной накачке край интегрального по времени спектра излучения тем больше сдвинут в длинноволновую сторону, чем больше дефектов кристаллической решетки образовывалось при облучении образца в предшествующих опытах. В данной работе оцениваемая таким образом дефектность образца, значение разности  $\hbar\omega_{ex} - E_g$ , энергия накачки, величина  $\delta\hbar\omega$  были такими, чтобы не возникали более тонкие эффекты, которые мешали бы определению исследовавшихся характеристик. С другой стороны, чем больше несовершенство волноводных свойств образца из-за его дефектности, тем большая часть излучения выходит перпендикулярно плоскости гетероструктуры. Это и обеспечивает возможность исследовать излучение, выходящее преимущественно из активной области, с минимальной долей изменений, возникающих при прохождении через пассивную область образца.

С помощью оценок, аналогичных выполненным в работе [4], разберем, можно ли измеренное излучение рассматривать как стимулированное (усиленное спонтанное). Скорость спонтанной рекомбинации, суммарная по всем энергетическим уровням, определяется выражением  $R_{sp} = Bnp$  [15], где  $B$  — константа рекомбинации,  $n$  — плотность электронов в зоне проводимости,  $p$  — плотность дырок в валентной зоне. Оценку максимальной плотности ЭДП, достигающей в нашем эксперименте значения  $n_m = p_m \approx 6 \cdot 10^{18} \text{ см}^{-3}$ , получаем из зависимости  $E_g = \hbar\omega_e = f(n)$  (рис. 2 в работе [10]), где  $\hbar\omega_e = 1.37$  эВ — спектральное положение длинноволнового края интегрального по времени спектра излучения (см. рис. 1). Указанная зависимость соответствует сужению ширины запрещенной зоны вследствие кулоновского взаимодействия носителей заряда [16–19].

При наличии интенсивного стимулированного излучения плотность и температура  $T_c$  ЭДП становятся взаимосвязанными [2, 10] (подробнее об этом см. ниже). Как экспериментальная [2, 4], так и расчетная [10] зависимости  $n$  от  $T_c$  (рис. 6) дают оценку  $T_c \approx 60$  мэВ (экспериментальные значения  $n$  и  $T_c$  были получены в работах [2, 4] с помощью подгонки расчетных спектров просветления к экспериментальным). Для GaAs при  $T_c = 294$  К константа  $B = 7.21 \cdot 10^{-10} \text{ см}^3/\text{с}$ . Используя это значение и зависимость  $B$  от температуры, представленную выражением (6.41) в работе [15], находим  $B = 2.16 \cdot 10^{-10} \text{ см}^3/\text{с}$  при  $T_c \approx 60$  мэВ. Получаем оценку числа квантов спонтанного излучения, из-

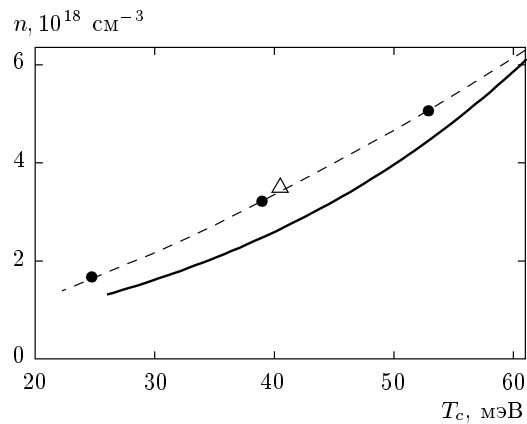


Рис. 6. Зависимость плотности  $n$  ЭДП от температуры  $T_c$ : • — эксперимент [2]; Δ — эксперимент [4]; сплошная кривая — расчет [10]

лучаемых в единицу времени из единицы объема при максимальной в эксперименте плотности ЭДП:  $R_{sp} = 0.78 \cdot 10^{28}$  см $^{-3} \cdot$  с $^{-1}$ .

Для оценки числа стимулированно излучаемых квантов  $R_s$ , приведенных к единице объема и единице времени, будем использовать выражение [4]

$$R_s = \frac{R_{sp}}{(k_m D)^2} \exp(k_m D),$$

где  $k_m = k_M - \gamma_M$ ,  $k_m$  — максимальный коэффициент усиления в области усиления спектра поглощения света,  $\gamma_M = 115$  см $^{-1}$  — коэффициент внутристороннего поглощения света, оцененный для приведенной выше плотности ЭДП [20]. Множитель  $1/(k_m D)^2$  учитывает долю площади активной области, спонтанное излучение которой усиливается в степени, близкой к максимальной.

Число электронно-дырочных пар, стимулированно рекомбинирующих в единицу времени в единице объема, составляет

$$\left| \frac{dn}{dt} \right| = \left| -\frac{n}{\tau_r} \right| \approx 5 \cdot 10^{29} \text{ см}^{-3} \cdot \text{с}^{-1}$$

при  $\tau_r = \tau_\Sigma = 12$  пс. Равенство  $R_s = |dn/dt|$  выполняется при  $k_m = 170$  см $^{-1}$  и  $k_M = 285$  см $^{-1}$ . При оценке  $k_M$  не учтены потери излучения, связанные со светочувствительными дефектами кристаллической решетки, из-за которых значение  $k_M$  должно быть несколько больше приведенного выше. Полученная оценка  $k_M$  не противоречит коэффициенту усиления, рассчитанному из экспериментальных спектров просветления [4], а также полученному из измерений спектра поглощения в области усиления

света [21] в близких условиях накачки GaAs. Таким образом, стимулированное излучение способно приводить к релаксации плотности ЭДП с оцененной выше скоростью  $dn/dt$ .

Перейдем к задержкам  $\delta t_b$  и  $\delta t_m$ . Например, если возникает некоторая инверсия заселенностей, то стимулированное излучение достигает интенсивности, соответствующей этой инверсии в стационарном случае, за время своего прохождения через активную область или несколько быстрее, если при прохождении достигается насыщение усиления [22]. Это позволяет предположить, что в описанном эксперименте задержка  $\delta t_b$  должна быть близка к времени  $t_a$  прохождения излучением расстояния, равного диаметру луча накачки. Задержка  $\delta t_b$  при  $\hbar\omega_b > 1.4$  эВ (см. рис. 3) и оценка  $t_a = D c^{-1} \chi = 5.5$  пс действительно близки (здесь  $\chi = 3.3$  — коэффициент преломления GaAs [20]). Возрастание  $\delta t_b$  при уменьшении  $\hbar\omega_b < 1.4$  эВ, по-видимому, связано с тем, что в этой спектральной области излучение возникало по мере сужения запрещенной зоны при росте плотности ЭДП. Этими же факторами (сужением зоны и конечным временем прохождения через активную область) можно пытаться объяснить и наблюдавшуюся зависимость  $\delta t_m(\hbar\omega_b)$ , см. рис. 3. Сужение запрещенной зоны сопровождается изменением области усиления спектра поглощения света. Это могло бы быть, в частности, причиной того, что на коротковолновом краю упомянутой зависимости величина  $\delta t_m$  близка к нулю.

Приведенные выше оценки свидетельствуют о приемлемости предположения, что наблюдаемое излучение можно рассматривать как стимулированное. Оценим его интенсивность при средней плотности ЭДП

$$n_{av} = (n_m - n_t)/2 = 3.65 \cdot 10^{18} \text{ см}^{-3},$$

где  $n_t \approx 1.3 \cdot 10^{18}$  см $^{-3}$  — плотность ЭДП в пороговом состоянии [10]. Примем, что излучение происходит в объеме  $V = \pi D^2/4$  и движется вдоль слоя GaAs толщиной  $d$ , а его средняя энергия составляет 1.39 эВ. Тогда интенсивность излучения на расстоянии  $D/2$  от центра активной области составляет

$$I = \hbar\omega \left| \frac{dn}{dt} \right| \frac{D}{4} = \frac{\hbar\omega n_{av} D}{4\tau_r} \approx 0.85 \frac{\text{ГВт}}{\text{см}^2}.$$

Перейдем к обсуждению релаксации излучения. В работах [2, 4] сформировалось следующее представление. Пока энергия фотона накачки  $\hbar\omega_{ex}$  ненамного превышает ширину запрещенной зоны  $E_g$ , температура генерируемой плотной ЭДП должна не

сильно превышать температуру решетки, приблизительно равную комнатной (например, в работе [4] при  $\hbar\omega_{ex} = 1.52$  эВ температура ЭДП не превышала 470 К). Уменьшение плотности ЭДП начинается через несколько пикосекунд после того, как интенсивность света накачки прошла через максимум и началось охлаждение ЭДП [2]. При охлаждении происходит переход носителей заряда с более высоких на более низкие энергетические уровни, поддерживаящий инверсию заселенности. Стимулированное рекомбинационное излучение не дает существенно возрастать полосе инверсии [4, 12, 21], уменьшая плотность ЭДП по мере остывания ЭДП [2]. При этом если пренебречь той малой долей плотности ЭДП, при вычитании которой исчезает инверсия заселенности, то энергетическое распределение ЭДП во время остывания можно характеризовать условиями [4]

$$n = p, \quad \mu_e - \mu_h \approx E_g. \quad (1)$$

В изложенном приближении плотность и температура ЭДП взаимосвязаны [10]. Для рассматриваемого диапазона  $25 \text{ мэВ} \leq T_c \leq 60 \text{ мэВ}$  можно принять, что плотность ЭДП изменяется с температурой пропорционально  $T_c^{3/2}$ . Такой аппроксимации соответствуют, как легко убедиться, экспериментальная [2] и близко расположенная к ней расчетная [10] зависимости (рис. 6).

Релаксация излучения, интегрального по спектру, должна происходить с тем же характерным временем, что и характерное время  $\tau_r$  релаксации плотности ЭДП (см. Введение). Поэтому оценка  $\tau_r$ , производимая ниже, будет одновременно и оценкой  $\tau_\Sigma$ . В соответствии с взаимосвязью  $n$  и  $T_c$  имеем  $\tau_r \approx \approx (2/3)\tau_T$ , где  $\tau_T$  — характерное время релаксации температуры ЭДП. В работе [23] было получено выражение для времени охлаждения ЭДП в GaAs при наличии собственного стимулированного излучения. Это время, как и в работе [7], принимаем за  $\tau_T$ . Оценим  $\tau_r$ , пользуясь тем же выражением, что было удовлетворительно использовано в работе [7]:

$$\tau_r \approx \frac{2}{3} (A + B\tau_p T_c^{1/2} E_g) \tau_h, \quad (2)$$

где  $A = 6.2$ ,  $B = 0.34$ ,  $\tau_h \approx 0.8$  пс — время релаксации энергии ЭДП за счет эмиссии оптических фононов с учетом разогрева последних [24], величины  $\tau_r$ ,  $\tau_p$ ,  $\tau_h$  измеряются в пикосекундах,  $T_c$  — в кельвинах,  $E_g$  — в электронвольтах. Первое слагаемое в выражении (2) учитывает разогрев ЭДП, связанный с тем, что энергия носителей заряда, участвующих в стимулированной рекомбинации, меньше средней энергии носителей в ЭДП. Второе слагаемое учитывает

разогрев ЭДП из-за внутризонного поглощения собственного излучения. Заметим, что совместное влияние на  $T_c$  и  $n$  обоих механизмов разогрева наблюдалось в работе [25], а только внутризонного поглощения света — в [26]. Время  $\tau_p$  — это характерное время движения фотона излучения в активной среде, пока фотон не покинет эту среду или не будет поглощен. Без учета неизвестного нам количества оптически чувствительных дефектов кристаллической решетки можно принять

$$\frac{1}{\tau_p} \approx \frac{c}{\chi} \left( \gamma + \frac{1}{D} \right). \quad (3)$$

Здесь  $\gamma$  — коэффициент внутризонного поглощения.

Как и в работе [7], в формулу (2) будем подставлять величину  $T_c$ , соответствующую  $n_{av}$ . Для приведенного выше значения  $n_{av}$  были оценены соответствующие ему температура  $T_c = 495$  К по экспериментальной и  $T_c = 557$  К по расчетной зависимостям (см. рис. 6), коэффициент  $\gamma = 54 \text{ см}^{-1}$  согласно [20],  $E_g = 1.375$  эВ по зависимости  $E_g(n)$ , представленной в [10]. Оценки  $\tau_r \approx 11.6$  пс и  $\tau_r \approx 12.1$  пс получаются приблизительно одинаковыми, если пользоваться соответственно экспериментальной и расчетной зависимостями, приведенными на рис. 6. Расчетанное значение  $\tau_r$  близко к экспериментальному значению  $\tau_\Sigma$ , т. е., действительно, равенство  $\tau_\Sigma \approx \tau_r$  выполняется. Это говорит в пользу того, что выражение (2) можно использовать для оценки  $\tau_\Sigma$ , и релаксация излучения определяется остыванием ЭДП.

Заметим, что в работе [7] для близких условий накачки, включая  $D = 0.5$  мм, экспериментально определенное характерное время релаксации просветления составляло 18 пс, что превышает полученную выше оценку  $\tau_r$ . Превышение, как показало проведенное математическое моделирование, вызвано тем, что просветление измерялось методом «накачка—зондирование» (pump—probe) при конечной длительности (14 пс) зондирующего импульса. Это аналогично превышению ширины автокорреляционной функции пикосекундного импульса над истинной длительностью импульса [27].

Зависимость  $\tau_s(\hbar\omega_\delta)$ , см. рис. 5, оказалась немонотонной. Одно из допустимых объяснений этого состоит в следующем. В работе [7] было обнаружено возрастание  $\tau_r$  при увеличении  $D$ , что соответствует формулам (2), (3). Поскольку  $\tau_r \approx \tau_\Sigma$ , подобным же образом должна зависеть величина  $\tau_\Sigma$  от  $D$ , а следовательно, и  $\tau_s$  от длины  $z$ , на которой происходит усиление отдельной спектральной компоненты излучения в активной области. При накачке с неоднородным (например, гауссовым) распределением интен-

сивности по сечению луча плотность генерируемой ЭДП будет тоже неоднородно распределена в облучаемой области полупроводника. По этой причине, согласно расчетам [28], длина  $z$  становится немонотонно зависящей от энергии фотона излучения. Последнее, благодаря взаимосвязи  $z$  и  $\tau_s$ , должно приводить к немонотонности зависимости  $\tau_s(\hbar\omega_\delta)$ .

Обнаруженная зависимость длительности импульса излучения  $t_{0.5}$  от  $\hbar\omega_\delta$  (см. рис. 5), по-видимому, зависит от нескольких факторов: задержки разгорания, инерционности отклика плотности ЭДП на уменьшение интенсивности накачки, зависимости времени релаксации  $\tau_s$  от  $\hbar\omega_\delta$ , обратимого изменения  $E_g$  при изменении  $n$ . В сумме это приводит к тому, что самые коротковолновые импульсы излучения имеют длительность, на 15 % меньшую длительности  $t_p$  импульса накачки, тогда как длительность импульсов в максимуме зависимости на 35 % больше  $t_p$ .

После описанных выше исследований авторы только приступают к изучению эволюции спектра излучения во времени. Поэтому здесь отметим, что асинхронность излучения с разными энергиями фотона приводит к отличию мгновенного спектра излучения от интегрального по времени спектра (см. рис. 1).

В итоге, экспериментально обнаружено следующее<sup>1)</sup>. В GaAs интенсивное излучение возникает с пикосекундной задержкой относительно фронта мощной пикосекундной оптической накачки полупроводника. Длительность импульса излучения сравнима с длительностью накачки. Задержка разгорания, длительность излучения и характерное время его релаксации зависят от энергии фотона излучения. Экспериментальным данным не противоречат оценки, сделанные в предположении того, что излучение является стимулированным (усиленным спонтанным) и его пикосекундная релаксация определяется остыванием ЭДП. Изложенные выше результаты соответствуют представлению об излучении, сформированному ранее на основании косвенных признаков в предшествующих работах.

Информация, заключающаяся в эксперименталь-

ных результатах и их обсуждении, может оказаться полезной при создании мощных импульсных полупроводниковых лазеров и суперлюминесцентных диодов. В частности, из этой информации следуют пути сокращения длительности импульсов пикосекундного диапазона.

Авторы посвящают свою работу светлой памяти В. И. Переля, выдающегося ученого, обладавшего редкой добротой и отзывчивостью, в соавторстве с которым и с С. Е. Кумековым была создана значительная доля представлений, использовавшихся в описанном исследовании. Авторы признательны Ю. С. Осипову, Г. А. Месяцу, Ю. В. Гуляеву, Н. А. Кузнецовой, В. В. Румянцеву, В. А. Черепенину и М. Я. Щелеву, без поддержки которых у авторов не было бы требуемой для настоящей работы регистрирующей аппаратуры, а также сотрудникам ИОФ им. А. М. Прохорова РАН, изготовившим по Госконтракту пикосекундную ЭОК PS-1/S1 и адаптировавшим ее к лазерному комплексу.

## ЛИТЕРАТУРА

1. И. Л. Броневой, Р. А. Гадонас, В. В. Красаускас и др., Письма в ЖЭТФ **42**, 322 (1985).
2. И. Л. Броневой, С. Е. Кумеков, В. И. Перель, Письма в ЖЭТФ **43**, 368 (1986).
3. Н. Н. Агеева, И. Л. Броневой, Е. Г. Дядюшкин и др., Письма в ЖЭТФ **48**, 252 (1988).
4. N. N. Ageeva, I. L. Bronevoi, E. G. Dyadyushkin et al., Sol. St. Comm. **72**, 625 (1989).
5. I. L. Bronevoi, A. N. Krivonosov, and V. I. Perel', Sol. St. Comm. **94**, 363 (1995).
6. D. Hulin, M. Joffre, A. Migus, J. L. Oudar et al., J. de Phys. **48**, 267 (1987).
7. И. Л. Броневой, А. Н. Кривоносов, ФТП **32**, 542 (1998).
8. И. Л. Броневой, А. Н. Кривоносов, ФТП **32**, 537 (1998).
9. И. Л. Броневой, А. Н. Кривоносов, ФТП **33**, 13 (1999).
10. Н. Н. Агеева, И. Л. Броневой, А. Н. Кривоносов, ФТП **35**, 65 (2001).
11. Н. Н. Агеева, И. Л. Броневой, А. Н. Кривоносов и др., ФТП **39**, 681 (2005).

<sup>1)</sup> Авторы планируют продолжить времяразрешающие исследования излучения и влияния на него процессов, обнаруженных в предшествующих работах. Наблюдение каждого из них требует специфических условий накачки, чувствительности измерительной аппаратуры и определенного качества образцов. Авторы испытывают большой дефицит необходимых для экспериментов образцов, и приглашают к кооперации в будущих исследованиях коллег, способных изготовить требуемые образцы.

- 12.** Н. Н. Агеева, И. Л. Броневой, Д. Н. Забегаев и др., ФТП **46**, 944 (2012).
- 13.** *Параметрические генераторы света и пикосекундная спектроскопия*, под ред. А. Пискарскаса, Мокслас, Вильнюс (1983).
- 14.** Н. Н. Агеева, И. Л. Броневой, Д. Н. Забегаев и др., ПТЭ **4**, 108 (2011).
- 15.** В. П. Грибковский, *Теория поглощения и испускания света в полупроводниках*, Наука и техника, Минск (1975).
- 16.** J. Shah, R. F. Leheny, and C. Lin, Sol. St. Comm. **18**, 1035 (1976).
- 17.** S. Tarucha, H. Kobayashi, Y. Horikoshi et al., Jpn. J. Appl. Phys. **23**, 874 (1984).
- 18.** Т. Райс, Дж. Хенсел, Т. Филлипс, Г. Томас, *Электронно-дырочная жидкость в полупроводниках*, Мир, Москва (1980).
- 19.** *Теория неоднородного электронного газа*, под. ред. С. Лундквиста и Н. Марча, Мир, Москва (1987).
- 20.** J. S. Blakemore, J. Appl. Phys. **53**, R123 (1982).
- 21.** Н. Н. Агеева, И. Л. Броневой, А. Н. Кривоносов и др., ФТП **36**, 144 (2002).
- 22.** L. W. Casperson, J. Appl. Phys. **48**, 256 (1977).
- 23.** Ю. Д. Калафати, В. А. Кокин, ЖЭТФ **99**, 1793 (1991).
- 24.** С. Е. Кумеков, В. И. Перель, ЖЭТФ **94**, 346 (1988).
- 25.** N. N. Ageeva, I. L. Bronevoi, V. I. Mironov et al., Sol. St. Comm. **81**, 969 (1992).
- 26.** N. N. Ageeva, V. B. Borisov, I. L. Bronevoi et al., Sol. St. Comm. **75**, 167 (1990).
- 27.** *Сверхкороткие световые импульсы*, под ред. С. Шапиро, Мир, Москва (1981).
- 28.** E. O. Goebel, O. Hildebrand, and K. Lohnert, IEEE J. Quant. Electron. **QE-13**, 848 (1977).